## 技术 方法

## 综合地球物理勘探在龙头山 银铅锌多金属矿床中的应用

张 锐1,刘洪涛2,刘建明2,林建华1

(1. 北京科技大学金属矿山高效开采与安全教育部重点实验室,北京 100083; 2 中国科学院地质与地球物理研究所,北京 100029)

[摘 要]为了避免地球物理方法的局限性和结果解释的多解性,充分发挥了各个方法的优势,使之取得地质上和经济上的最佳勘查效果,在龙头山地区矿床地质勘查中,综合运用了甚低频 (VLF-EM)、电导率成像系统 (EH4)、可控源音频电磁法 (CSAMT)和激电中梯测量 (TDIP)等地球物理勘探方法,取得了较好的勘查效果。通过异常的验证,将原来一个"银锰矿点",升级为潜在资源规模为大型以上的银-铅-锌多金属矿床。综合物理勘探的方法的运用,在该区的矿产勘查中具有指导意义。

[关键词]综合地球物理方法 隐伏矿体 龙头山 Ag-Pb-Zn矿床 [中图分类号]P631 [文献标识码]A [文章编号]0495-5331(2008)02-0067-06

就地质勘探而言,地球物理方法是多种多样的,但各个方法又都有的它一定的适应性和局限性,同时也存在多解性,如何将这些方法有效的组合在一起<sup>[1]</sup>,减少其多解性,充分发挥各个方法的优势,在地质上和经济上获得最佳效果<sup>[2]</sup>,逐步缩小勘探靶区,最终达到勘探矿体的目的,一直是勘探地球物理工作者追求的目标。

龙头山银铅锌多金属矿床的勘探为地球物理的 综合应用提供了一个典型的事例。

## 1 龙头山银铅锌多金属矿床地质概况

龙头山矿区位于内蒙古自治区阿鲁克沁旗双胜镇下双井村(东经 119 44,北纬 43 40),区内出露的地层有二叠系下统大石寨组和上统满克头鄂博组、玛尼吐组,以及第四系松散堆积。矿床的容矿岩为下二叠统大石寨组的安山质火山岩或火山碎屑岩。控矿断裂构造系统主要为南东东向和近东西向。

根据目前探槽、坑道和民采坑揭露的情况,矿区内发育两个规模较大的主矿带和若干个规模较小的矿化带,这些矿(化)带总体上近于平行(走向 290~300 %。I号矿带位于矿区中东部,II号矿带位于矿

区西部,其余的小型矿带位于矿区东部(图 1)。

矿石矿物主要为方铅矿、黄铁矿、黄铜矿、褐铁矿、赤铁矿、软锰矿等。脉石矿物主要为石英、方解石、绢云母和粘土矿物。矿石构造主要由蜂窝状构造、致密块状构造和浸染状构造。矿石结构有自形-半自形晶粒结构包含结构、交代熔蚀结构和固溶体出溶结构等。

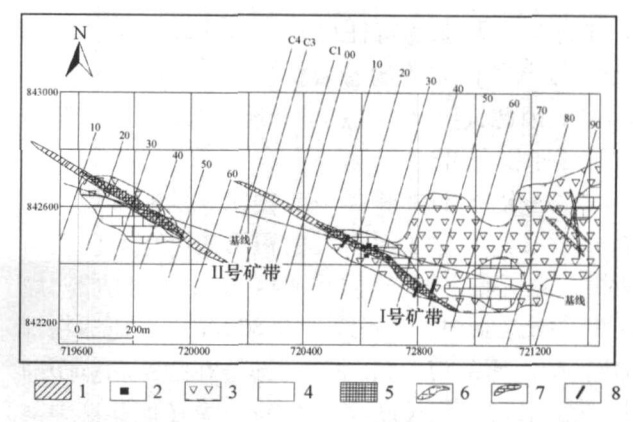


图 1 龙头山矿区地质简图与地球物理测线部署 1—推测矿体; 2—民采小浅井; 3—二叠系砂板岩、火山碎屑岩; 4—第四系; 5—露头矿体; 6—燕山中期酸性脉岩; 7—二叠系结晶灰岩、大理岩; 8—探槽

<sup>[</sup>收稿日期]2006-12-28; [修订日期]2007-03-19。

<sup>[</sup>基金项目]中国科学院知识创新工程重要方向项目(编号: KZCX3 - SW - 138)和重大项目(编号: KZCX1 - 07)的资助项目。 [第一作者简介]张 锐(1973年—),男,2005年毕业于北京科技大学,获硕士学位,在读博士生,工程师,现主要从事矿山地质和矿床学研究工作。

地质与勘探 2008年

## 2 综合地球物理方法的选择与实施

龙头山银多金属矿床除 I号矿带东部和 II号矿 带中部出露地表外(图 1),其余被厚度不等的第四 系松散堆积所覆盖,为半隐伏矿床,因而需要地球物 理探测手段来确定其深部变化与平面展布。在此矿 区的地球物理勘查过程中,首先采用甚低频(VLF-EM)测量方法确定矿化带的走向和延伸,然后进行 EH4电磁测深 (可控源与天然场相结合)、可控源音 频电磁法 (CSAMT)等测深技术以剖面法确定矿带 的深部变化。另外在矿区西部还进行了激电中梯测 量(TDIP),对电磁法扫面进行了交叉检验。采用的 仪器主要为美国 GEOMETRICS和 EMI公司联合研 制的 EH4电磁测深系统、美国 Zonge 公司研制的 GDP-32 多功能电磁测量系统、加拿大 GEON ICS 公司和瑞典 ABEM 公司联合研制 WAD I甚低频测 量仪和我国重庆地质仪器厂生产的 DDS - 3型甚低 频测量仪等,这些技术方法的联合应用和交叉检验, 可以有效地反演地下 0~2000m 的控矿构造系统的 电性结构和地质构造,进而对矿床内主要矿脉的地 质规模做出具有深部依据的评估。

## 2.1 甚低频 (VLF-EM)的应用及异常解释

甚低频电磁测量 (以下简称 VLF)作为一种浅层地球物理探测技术,具有轻便、快速、经济、高效的优点,而且在隐伏 - 半隐伏矿体的空间定位预测中应用效果显著 [3]。但由于 VLF属于被动源电磁感应方法 [4-7],场源的特征以及电磁波在地下的迅速衰减,限制了该方法的有效探测深度 (一般为 40~50m)。因此,甚低频通常用来地质扫面,以控制矿体的延伸和走向。

在这次测量中,根据龙头山矿床的矿带规模与分布(图 1),考虑矿区内大面积第四系覆盖区下可能存在隐伏矿化带,我们在矿区东部(I号矿带)以线距 50m、点距 10m、测线长度 800m 部署地球物理测网;矿区西部(II号矿带)的部署在线距和点距与东部相同,但测线长度改为 400m。全矿区共部署甚低频测线 36条,近东西控制矿带长度约 1800m。

需要说明的是,矿区东、西部的测网不是同时布置的,二者没有使用同一条基线,而且各自的测线编号自成体系。(图 1、图 2)。在甚低频适应性试验、fraster滤波校正和建立甚低频矿区模型解释剖面的基础上,得到甚低频扫面的具体结果见图 2(农电输电线路是矿区甚低频测量的主要环境干扰因素,它们表现较高的电流密度值,为强烈的低阻带)

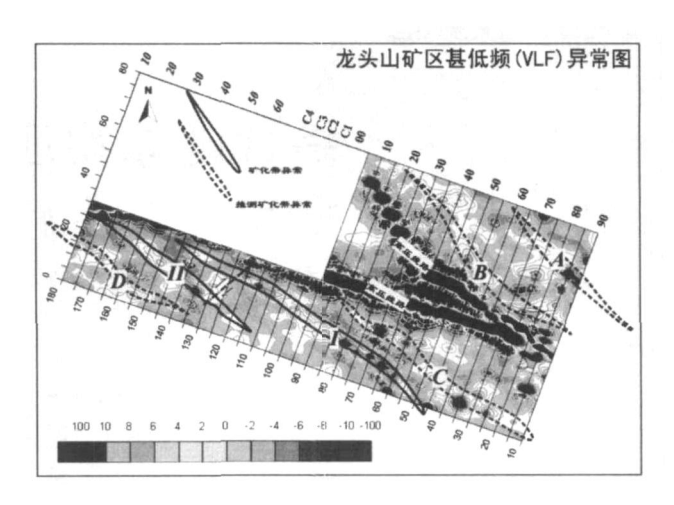


图 2 龙头山矿区甚低频电磁测量 Fraster滤波等值线平面图

根据矿区甚低频异常测量结果 (图 2)可知,在 龙头山矿区清晰地分辨出 6条规模宏大的潜在矿化 甚低频异常(I, II, A、B、C、D),其中 I, II号甚低频异 常与已知的 I II矿带相对应,是无可争议的矿致异 常。A异常带在地表可见到两条 1~1.5m 宽的 Ag-Pb-Zn矿脉,二者相距不到 10m,因此也是矿 致异常显示。B异常位于龙头山北侧与庄稼地结合 部,我们检查异常时在该异常带所处位置的梯田埂 上,发现了强褐铁矿化-赤铁矿化的岩石碎屑,取样 显示出 Au矿化 (Au = 0.87g/t, n = 1),因此这个异 常也可能是矿致异常。C和 D两个甚低频异常分别 位于 I号矿带北侧和 II号矿带南侧,它们在地表没 见到任何矿化显示或被第四系覆盖,因而没有直接 的地质证据说明其是否为矿致异常;但根据它们的 平面分布形态及其与 [ II号矿致异常之间的协和、 等距、侧列关系,我们推测这两条 VLF异常极有可 能是矿致异常。

#### 2.2 EH4电磁测深结果与解释

EH4电磁测深技术,可以有效地探测矿带 - 矿化带甚至矿体在地下 600~1000m深度范围内的产状、规模及其变化趋势<sup>[8,9]</sup>。该方法是较为昂贵的地球物理详查手段,不可能像 VLF测量那样长剖面大量使用。

矿区的 EH4测线位置与 VLF测线重合,采用 10m的点距,但其长度短于后者,这主要归功于 VLF测量对主矿带(I和 II)的确定,以跨越主矿带的 VLF异常宽度为准。矿区共部署 EH4测线 6条:矿区东部 3条(10、35和 45线)控制 I号矿带,矿区西部 3条(20、35和 60线)控制 II号矿带。

由东区的 35线 (图 3)和西区的 20线 (图 4)典型视电阻率解释剖面研究表明, I和 II号矿带在

EH4视电导率成像剖面上表现为中、高阻影像特征,矿带一般位于低阻带与高阻带之间的过渡地带(或梯度带);极低阻带和极高阻带均不是矿化带的EH4影像显示。

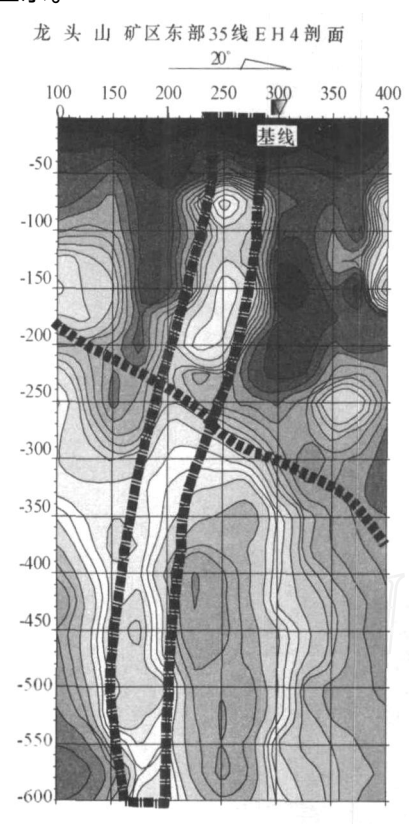
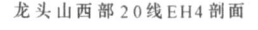


图 3 龙头山东区 35线 EH4测深影像 矿体露头:基线南 36m为北界,矿带厚度 18m

根据矿区内 6条 EH4连续视电导率剖面测量与解析,取得如下主要认识与成果。

- 1) EH4测量结果不仅与 VLF扫面所圈定甚低 频异常带基本一致,而且也与实际的矿带出露位置 一致。
- 2) 矿区的东、西部在卡尼亚电阻率方面存在轻微的差异:东部整体上背景场电阻率偏高,而西区的背景场电阻率偏低。这可能由于矿区东、西部在围岩性质和岩石破裂程度上的差异所引起的(图 3、图 4)。
- 3) EH4影像表明, I和 II号矿带至少在地下 600m的深度范围内仍然清晰存在。矿带两侧的电性结构 300m以上较为复杂,不排除存在另外新的 隐伏矿带。
- 4) I号矿带在 0~250m的深度内总体上近于 直立,但 250m以下产状发生变化,在不同矿段倾向 可能有所不同,在倾向上总体表现为舒缓波状(图 3);东部 10,35和 45线 EH4剖面在电性结构上十



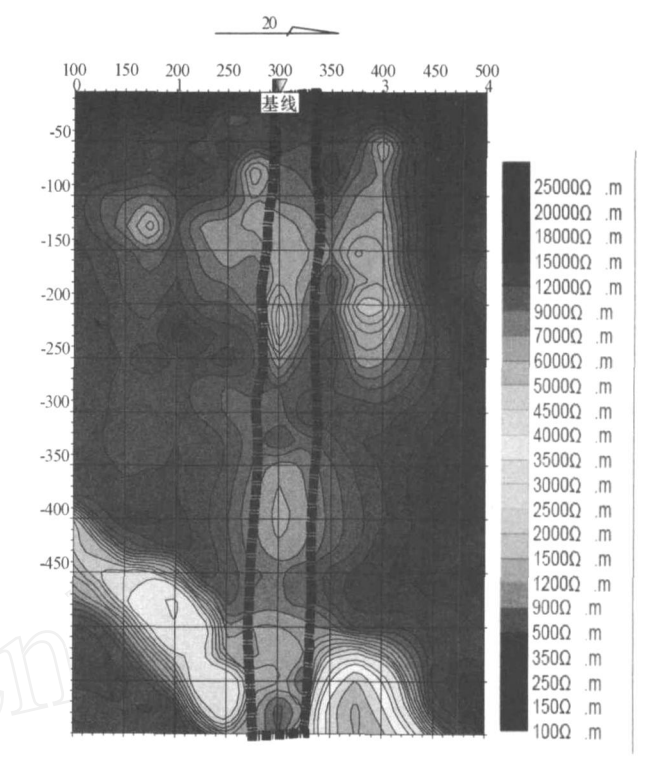


图 4 龙头山西区 20线 EH4测深影像

分相似,尤其值得注意的是,在地下 250m的深度附近可能存在一条倾角(40~45%)的北倾低阻带,将 I矿带的 EH4异常切穿并有小规模位移,因而推测这条低阻带可能是一条成矿后中等角度的正断层所致。

5) II号矿带在垂向上总体表现为近直立状,电性结构清晰稳定,不同测线的 EH4测深影像具有良好的可比性:矿带南侧为明显的低阻带,而矿带北侧则为明显的高阻带,矿带位于过渡带之中(图 4)。这种剖面结构特点暗示矿化带可能发育在岩性对比强烈的过渡部位。

#### 2.3 可控源音频大地电磁法 (CSAMT)测深结果与解释

此次可控源音频大地电磁法 (CSAMT)测深工作主要在龙头山西部进行。由于测量实施时矿区周围农田的庄稼已经长大,因而不能完全按照原 VLF测线进行。为了后续将不同探测方法获得的结果进行交叉对比,我们尽可能使 CSAMT测线在矿体露头部位与原测线重合或接近重合。因此,35和 45 CSAMT测线与原 VLF测线之间交角为 10°;但在矿带露头一带二者的位置则十分接近。

我们使用 CSAMT测深的主要目的为了查明矿带的宏观深部延伸趋势。这主要基于 CSAMT测量具有勘探深度大的特点[10],同时,该方法的弱点是

其分辨率较 EH4测量低。从图 5可以看出, II号矿带表现为中低阻带,这与 EH4测量结果相似。矿带包含在一个宽大的低阻带之中,在垂向上可以一直

延续到地下 800m以下,十分稳定。"45 线剖面中, 发育一条北倾的低角度甚低阻异常带,推测是低角 度断层所致。

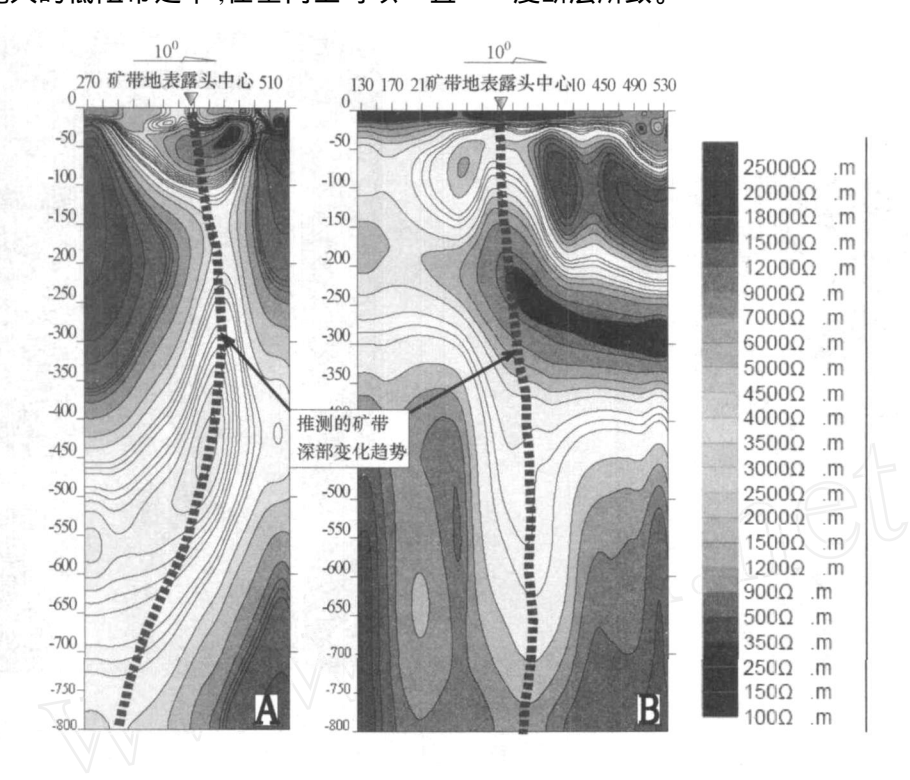


图 5 龙头山矿区西部可控源音频大地电测 (CSAMT)测深剖面 A: II矿带 "35"线; B: II矿带 "45"线剖面

#### 2.4 激电测量与异常解释

此次采用激电中梯测量方法,采用的装置参数为 AB = 900 m,MN = 20 m。测网的布置与矿区西部甚低频 (VLF)测网重合。测线包括 20, 25, 30, 35, 40, 45, 50, 55, 60,测线长度为 300 m (基线为中心两侧各 150 m),测量覆盖范围为 300 m ×400 m,

此次激电中梯测量获得了充电率、电阻率以及 金属因子三个重要参数。高充电率、低电阻率和高 金属因子是金属矿的激电异常特征。

从图 6、7和图 8可以看出,已知的 II号矿带具有十分清晰的高充电率、低电阻率和高金属因子异常显示。尤其是电阻率和金属因子异常与已知矿带的走向分布几乎完全一致,强有力地证明了该方法的有效性。

值得高度重视的是,在 II号矿带南侧农田覆盖区,激电测量发现了一个强度和规模均大于 II号矿带的高充电率、低阻和高金属因子异常带 (图 6至图 8)。该异常带在甚低频测量 (D异常) (图 2)和 EH4测深 (图 3和图 4)中都有清晰的显示。因而我们认为,这个激电异常极有可能是矿致异常,值得今后勘探中进行工程验证。

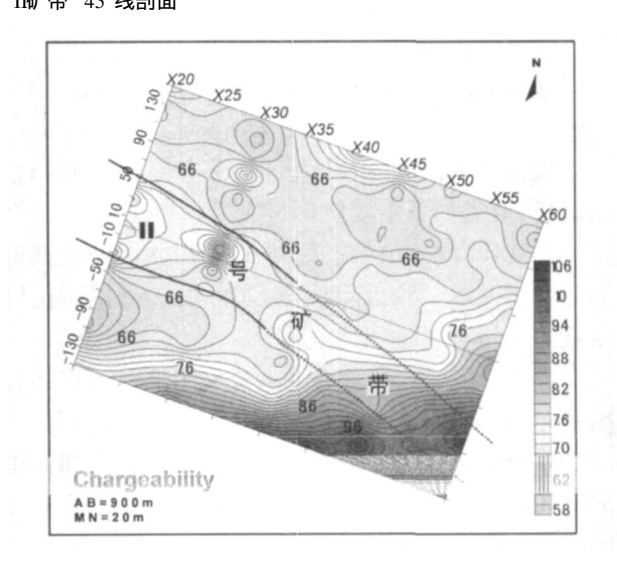


图 6 龙头山矿区西部激电测量充电率异常图

#### 3 地球物理异常的工程验证

地球物理异常是地下地质构造和地质体因物性差异而引起的,但毕竟是一种间接的、非实物性的探测结果。因而需要实物性的检验或异常验证。在龙头山矿区,工程验证的依据主要来自:民采矿坑、探槽和浅井工程。

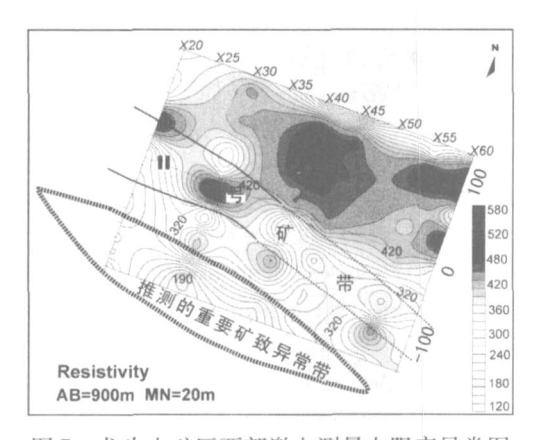


图 7 龙头山矿区西部激电测量电阻率异常图

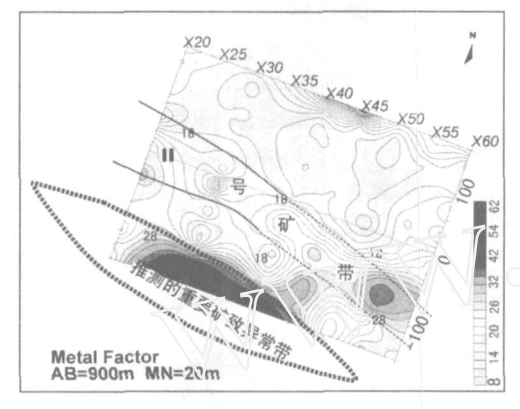


图 8 龙头山矿区西部激电测量金属因子异常图

#### 3.1 龙头山矿区东部

龙头山矿区东部是 I号矿带和 A、B、C等 VLF 异常的发育地段 (图 1)。

#### 1) 1号矿带异常的工程验证

在 I含矿带中部约 250m的走向长度内,已有几乎连续分布的前人近地表 (深度 3~15m)的民采矿坑 (7个)和深达 30~80m的探矿小井 (4个);我们又在该矿带 VLF异常的南北延长部之 10线、15线、45线和 50线开挖了 4条探槽。所有前人采矿坑和探井均见到矿带 (宽 17~28m)和工业矿体 (7~18m);新挖的 4条探槽中,除 50线探槽因道路原因未达探矿目的外 (近见到下盘蚀变带),其余 3条探槽均见到矿带 (12~26m)和矿体 (8~14m)。因而可以确认,I号矿带的 VLF和 EH4异常与实际矿带在空间上 (走向与延深)具有良好的对应性。

#### 2) A、B、C异常 - 实地地质调查

矿区东部 A、B、C (图 1) 3个 VLF异常现阶段还没有进行新的工程验证,但进行了野外实地地质调查。观察表明,A 异常所在地表可见到两条相距 10m、宽  $1\sim1.5m$  的 Ag-Pb-Zn 陡倾斜矿体,走向与异常方位一致。B 异常与 C 异常的地表状态相

似,全部被坡积物或农田覆盖。但据实地观察和取样,以及附近的小竖井(80m深)工程,确认 B、C皆是矿化异常。

### 3.2 龙头山矿区西部

龙头山矿区东部是 II号矿带和 D等 VLF异常的发育地段 (图 1)。

#### 1) II号矿带异常的工程验证

在 20, 25, 30和 35线开挖长探槽进行矿带的近地表揭露。在这 4条探槽中均见到宽大的矿化蚀变带  $(17\sim25\text{m})$ 和工业矿体。为了了解 II号矿带的浅深部变化,又在 25线西侧 2m打了一个深 16m的浅井,并在该浅井底部施工了长度约 46m的穿脉。在穿脉中见到宽 40m的原生铅矿石(Pb+Zn>4.7%,Ag>110 × $10^{-6}$ )。

## 2) D异常地质属性推测

对于龙头山矿区 II号矿带南侧的 D甚低频异常 (图 1), EH4连续电导率测量 (图 3-图 4)和激电测量 (图 6~图 8)都分别证实了该异常的存在。如同前文所分析的那样,我们推断该异常应为矿致异常,而且其矿化强度可能甚至高于已得到工程验证的 I和 II号矿带,这主要因为它具更高的激化率和金属因子等地球物理特征。该异常目前还没有进行工程验证。

表 1 勘探方法、矿化异常以及异常解释对应表

勘查 方法	对应的 矿脉	异常 特征	实际对 应的矿脉	查证
VLF	A、B、 C、D、	中低阻异常	A, B, C,	、 有矿体露 头,民采矿坑 (7 个)以及探槽验
EH4 CSA	`	中低租(与 VLF异常相对应) 中低阻(与 VLF异常	`	证,均见矿;A、B 通过地表查证 和取样为矿化
MT		相对应)		异常; C附近有 小竖井验证,见
TD IP		中高充电率、中低电阻率、中高金属因子(与 VLF 异常相对应)		矿。 D 为 推 测 矿体未验证
	D	低电阻率、高金属因子 (与 VLF异常相对应)	D	

综 2、3所述,VLF、CSAMT、EH4以及 TD IP等地球物理方法在该地区的综合应用中,具有一定的勘探效果,与实际工程揭露的矿体具有一定的吻合性,具体见表 1。综合地球物理找矿工作在地区具有一定的指导意义。

地质与勘探 2008年

## 4 结论

- 1) VLF、CSAMT、EH4以及 TD IP等地球物理方法综合应用,在该地区探矿中是比较有效的方法。通过工程的验证和实践观察,这些用不同方法获得的异常,总体上具有良好的可比性、交互印证性和地质可解读性,具体可见勘探方法、矿化异常以及异常解释对应表。这为该地区以后的地质勘查提供了一个方法或途径。
- 2)通过对龙头山银铅锌多金属矿区的地质 地球物理勘查,确认它是一个以银为主、辅以铅锌的多金属矿床。矿区内共发现 6个规模不等的平行带状综合地球物理异常,并对其中的两个异常带(I和 II)进行了综合地球物理测深与工程验证。通过验证,将原来一个"银锰矿点",升级为矿带走向长度愈 1800m、宽度 15~27m,其潜在资源规模为大型以上的银 铅 锌多金属矿床(银金属量 3106.76t, 铅金属量 222 768t,锌金属量 308 448t)。
- 3) 矿区内未进行工程验证的其余 4个异常带, 也具有相当大的几何规模,并初步显示出 Ag Pb, Zn, Cu, Au等矿化,因而是矿区内极具找矿潜力矿 致异常,值得今后进一步勘查与评价。

#### [参考文献]

- [1] 于昌明. 黑岚沟金矿的综合地球物理研究 [J]. 地球物理学进展,1999,14(2):114-122.
- [2] 张献民. 论地质 —地球物理模型的某些问题 [J]. 河北地质学院学报,1995,18(1):33.
- [3] 张寿庭,徐旃章,郑明华. 甚低频电磁法在矿体空间定位预测中的应用[J].地质科技情报,1999,1(4):85-88.
- [4] Mathieson C C, Crossley D J. Interpretation data [J]. Geological Survey of Canada, 1981, of single frequency VLF (4): 49 - 65, 81 - 85.
- [5] McCaffrey R J,McElroy W J,Leslie G A. Exploration of a ligniter - bearing basin in Northern Ireland using ground magnetic and VLF - EM methods[J]. Geophysics, 1995, 60(2): 408 - 412.
- [6] 史保连. 甚低频电磁法及其在岩溶地区的应用 [J]. 物探与化探,1982,6(4): 237 246.
- [7] 张文居,赵其华,沈军辉,等.甚低频电磁法确定覆盖层厚度的 理及应用[J].西北水电,2004,(1):9-11.
- [8] 于爱军,黄 辉,徐德利,等.综合电法在新疆哈西金矿区寻找 隐伏矿的应用 [J].地质与勘探,2006,(42),6:57.
- [9] 姜永兰,付占荣,孙家枢,等.甚低频电磁法在柴胡栏子金矿间接找矿中的应用[J].地质与勘探,2005,41(1):77-79.
- [10] 底青云,伍法权,王光杰,等.地球物理综合勘探技术在南水 北调西线工程深埋长隧洞勘察中的应用[J]. 岩石力学与工 程学报,2005,24(20):3632

# APPL ICATION OF COMPREHENSIVE GEOPHYSICAL METHODS IN THE LONGTOUSHAN Ag - Pb - Zn DEPOSIT

ZHANG Rui<sup>1</sup>, LIU Hong - tao<sup>2</sup>, LIU Jian - ming<sup>2</sup>, LIN Jian - hua<sup>1</sup>

- (1. Key Laboratory of High Efficiency M ining and Safety of the Metal M ines, M inistry of Education, Beijing University of Science and Technology, Beijing 100083;
  - 2 Institute of Geology and Geophysics, Chinese Academy of Science, Beijing 100029)

Abstract: In order to avoid limitations and data multi - interpretation of geophysical methods, make full use of the advantages of various geophysical methods, and acquire the best prospecting results on geology and economy, comprehensively geophysical methods such as VLF - EM, EH4, CSAMT and TD IP are used in the Longtoushan mine Better prospecting results are obtained After qualification testing of anomaly, Longtoushan mine has became large Ag - Pb - Zn poly - metallic deposit from an Ag - Mn occurrence. Utilization of comprehensive geophysical methods in the Longtoushan mine provides guidance signification for one exploration

Key words: comprehensive geophysical method, buried ore, Longtoushan Ag - Pb - Zn deposit